

# ガンマ線・宇宙線物理

塔 さこ 隆志

# ガンマ線・宇宙線物理

## ～"The 宇宙線"研究～

100年の謎、銀河系宇宙線の起源に迫れ！

塔 さこ 隆志

宇宙線ってなに？

# 宇宙線ってなに？

TeVガンマ星雲  
連星中性子星線・PeVガンマ線  
高エネルギー電子  
宇宙磁場バースト  
ミュー粒子  
パイ中間子  
反粒子  
ユートリノ振動  
銀河進化  
銀河宇宙線  
CP対称性のやぶれ  
最高エネルギー宇宙  
超新星残骸  
WIMP  
PeVatron  
初期宇宙  
ハドロン・レプトン  
相対論的ジエット  
原始ブラックホール  
アクション  
重力波  
ダーカマター  
空気シャワー  
ニュートリノ  
二次宇宙線  
チエゾンコフ光  
素粒子標準模型

# 宇宙線ってなに？

TeVガンマ星雲体  
連星中性子星線・PeVガンマ線  
高エネルギー電子  
宇宙磁場バースト  
ミュー粒子  
パイ中間子  
反粒子  
ユートリノ振動  
銀河進化  
初期宇宙  
銀河進化  
CP対称性のやぶれ  
超新星残骸  
最高エネルギー宇宙  
WIMP  
PeVatron  
ハドロン・レプトン  
相対論的ジエット  
原始ブラックホール  
重力波  
アクション  
ダーカマター  
空気シャワー  
ニュートリノ  
チエゾンコフ光  
素粒子標準模型

で、結局宇宙線ってなに？

# 1ページで学ぶ「宇宙線とは？」

[狭義]宇宙から降り注ぐ高エネルギー原子核

- ・陽子、ヘリウム原子核、…鉄原子核、…

[広義]

- ・電子、陽電子、ガンマ線、ニュートリノ
- ・ダークマター、重力波

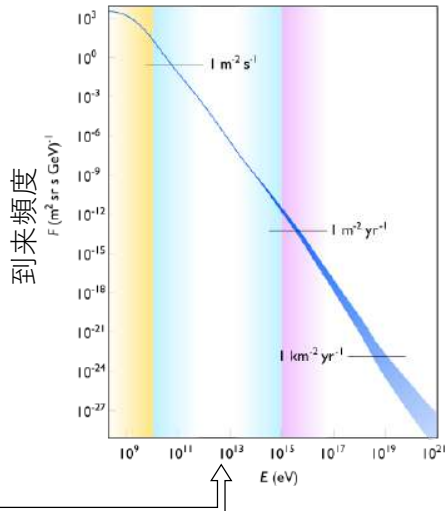
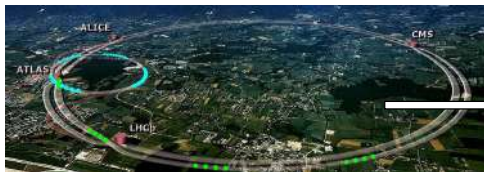
様々なエネルギーの宇宙線がやってくる

- ・大体1秒間に指先( $1\text{cm}^2$ )を1個到来 [注: 大気の外]
- ・エネルギーが一桁増えると、頻度は約1/1000
- ・ $10^{20}\text{eV}$ の宇宙線が来ている( $100\text{km}^2$ に年に一個)
- ・人工加速器の最高エネルギーは  $7 \times 10^{12}\text{eV}$

宇宙加速器はどこにある？

- ・謎？？
- ・宇宙の極限天体・現象が関わるはず

世界最大の粒子加速器 LHC  
(CERN, スイス, フランス国境)



横軸の単位はeV (エレクトロンボルト)

$$1\text{eV} = \text{電子を}1\text{V} \text{で加速した場合のエネルギー} = 1.6 \times 10^{-19} \text{J} (\text{ジュール})$$

# 1ページで学ぶ「宇宙線とは？」

[狭義] 宇宙から降り注ぐ高エネルギー原子核

- ・陽子、ヘリウム原子核、… 鉄原子核、…

[広義]

- ・電子、陽電子、ガンマ線、ニュートリノ
- ・ダークマター、重力波

- ・粒子自身が高エネルギー
- ・高エネルギー天体现象に伴って生成(GW)
- ・高エネルギー物理学の対象 (DM・ $\nu$ )
- ・伝統的な天文学が扱わない
- ・電磁波以外 (ガンマ線を除く)

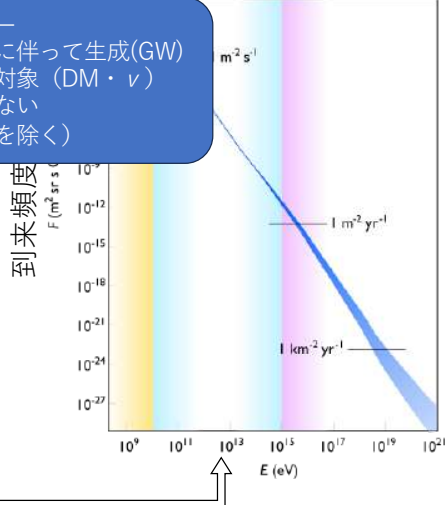
様々なエネルギーの宇宙線がやってくる

- ・大体1秒間に指先(1cm<sup>2</sup>)を1個到来 [注: 大気の外]
- ・エネルギーが一桁増えると、頻度は約1/1000
- ・10<sup>20</sup>eVの宇宙線が来ている(100km<sup>2</sup>に年に一個)
- ・人工加速器の最高エネルギーは7×10<sup>12</sup>eV

宇宙加速器はどこにある？

- ・謎？？
- ・宇宙の極限天体・現象が関わるはず

世界最大の粒子加速器 LHC  
(CERN, スイス, フランス国境)



横軸の単位はeV (エレクトロンボルト)

$$1\text{eV} = \text{電子を}1\text{Vで加速した場合のエネルギー} = 1.6 \times 10^{-19} \text{J (ジュール)}$$

# 1ページで学ぶ「宇宙線とは？」

[狭義] 宇宙から降り注ぐ高エネルギー原子核  
• 陽子、ヘリウム原子核、… 鉄原子核 …

[広義]  
• 電子、陽電子、ガンマ線、ニュートリノ  
• ダークマター、重力波

様々なエネルギーの宇宙線がやってくる

- 大体 1秒間に指先( $1\text{cm}^2$ )を1個到来 [注: 大きさは  $1\text{m}^2$  ]
- エネルギーが一桁増えると、頻度は約  $1/10$
- $10^{20}\text{eV}$  の宇宙線が来ている( $100\text{km}^2$  に年に一個)
- 人工加速器の最高エネルギーは  $7 \times 10^{12}\text{eV}$

宇宙加速器はどこにある？

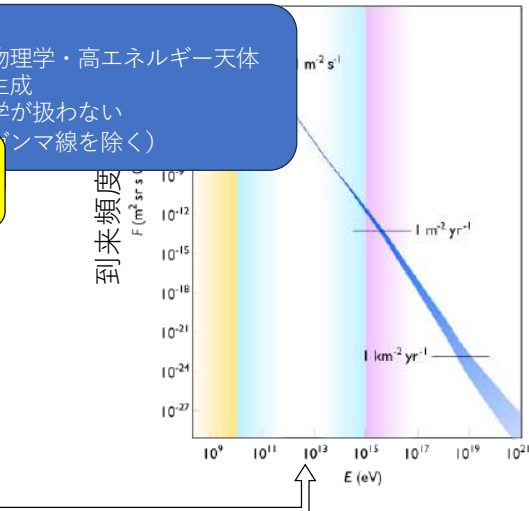
- 謎？？
- 宇宙の極限天体・現象が関わるはず

世界最大の粒子加速器 LHC  
(CERN, スイス, フランス国境)



本講義のテーマ  
“The 宇宙線”

- 高エネルギー
- 高エネルギー物理学・高エネルギー天体現象に伴って生成
- 伝統的な天文学が扱わない  
(主に  $\gamma$  線を除く)



横軸の単位はeV (エレクトロンボルト)  
 $1\text{eV} = \text{電子を}1\text{V} \text{で加速した場合のエネルギー} = 1.6 \times 10^{-19} \text{ J (ジュール)}$

# 1ページで学ぶ「宇宙線とは？」

[狭義] 宇宙から降り注ぐ高エネルギー原子核

- ・陽子、ヘリウム原子核、…鉄原子核、…

[広義]

- ・電子、陽電子、ガンマ線、ニュートリノ
- ・ダークマター、重力波



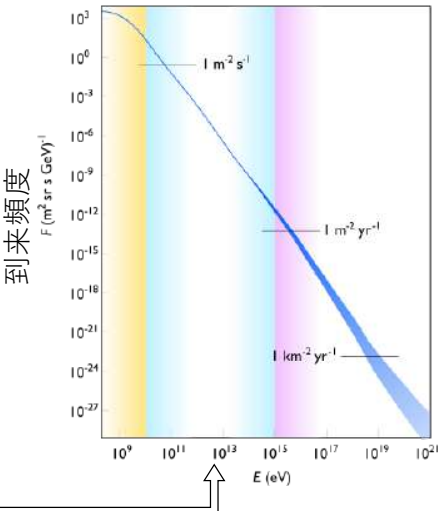
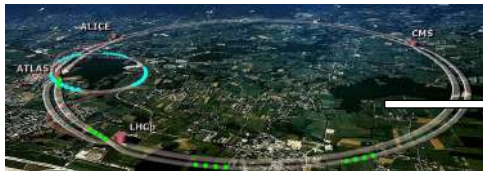
様々なエネルギーの宇宙線がやってくる

- ・大体1秒間に指先( $1\text{cm}^2$ )を1個到来 [注: 大気の外]
- ・エネルギーが一桁増えると、頻度は約1/1000
- ・ $10^{20}\text{eV}$ の宇宙線が来ている( $100\text{km}^2$ に年に一個)
- ・人工加速器の最高エネルギーは  $7 \times 10^{12}\text{eV}$

宇宙加速器はどこにある？

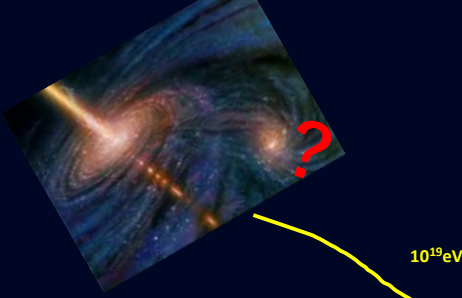
- ・宇宙の極限天体・現象が関わるはず
- ・謎??

世界最大の粒子加速器 LHC  
(CERN, スイス, フランス国境)

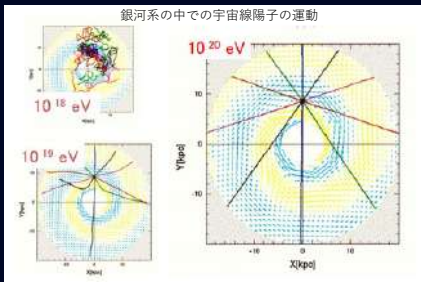


横軸の単位はeV (エレクトロンボルト)

$$1\text{eV} = \text{電子を } 1\text{V} \text{ で加速した場合のエネルギー} = 1.6 \times 10^{-19} \text{ J (ジュール)}$$



$10^{19}\text{eV}$



なぜ起源がわからない?  
=> 強敵：宇宙磁場

$10^{15}\text{eV}$



- 地球で観測される宇宙線の到来方向から、宇宙線の発生源の方向はわからない
- 銀河系内の天体は $>\text{数}10^{15}\text{eV}$ の陽子は閉じ込められない、つまり銀河系内天体の陽子加速限界は $\text{数}10^{15}\text{eV}$ (数PeV)

# 「最高エネルギー宇宙線」 銀河系外宇宙線の起源

なぜ起源がわからない？

=> 強敵：宇宙磁場

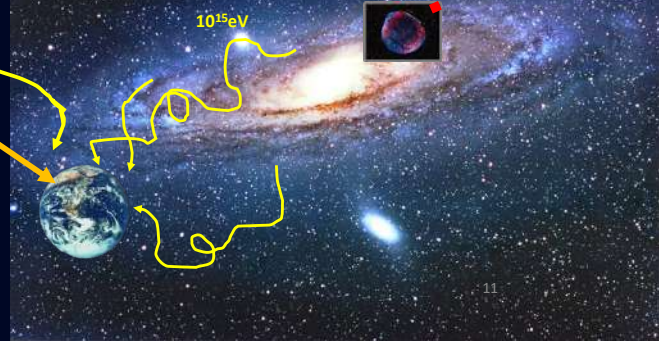
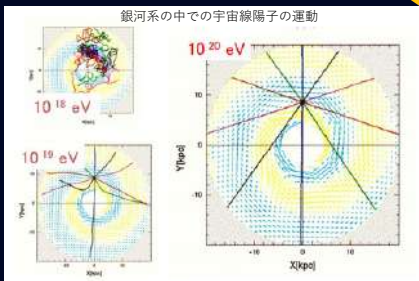
戦略1：最高エネルギーを狙う！

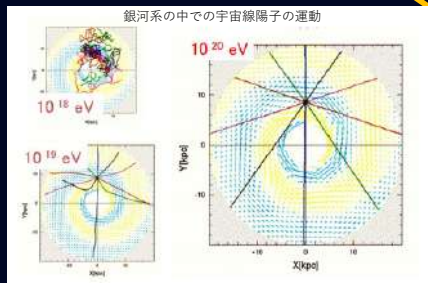
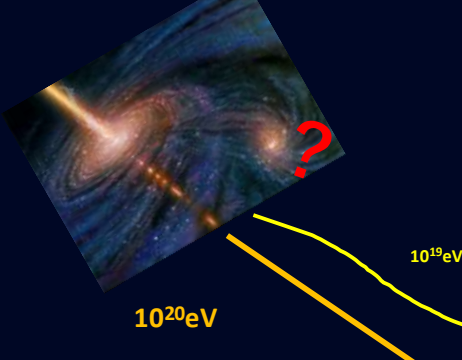
$10^{20}\text{eV}$

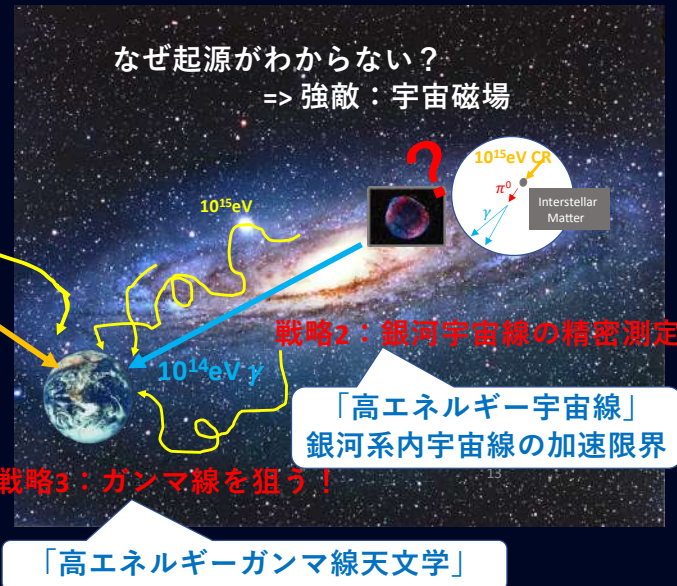
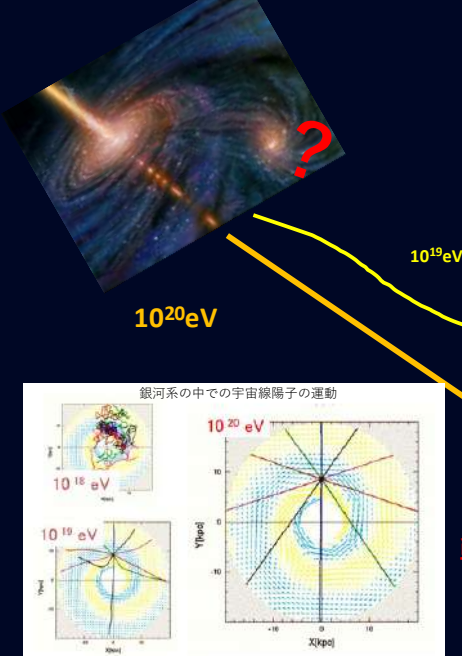
$10^{19}\text{eV}$

?

?







$$\text{TeV} = 10^{12} \text{eV}, \text{PeV} = 10^{15} \text{eV}, \text{EeV} = 10^{18} \text{eV}$$

## 荷電粒子観測 (陽子、原子核)

- ・銀河最高エネルギー粒子

最高エネルギー宇宙線観測  
(テレスコープアレイ)

高エネルギー宇宙線観測  
(Tibet, ALPACA)

- ・宇宙最高エネルギー粒子
- ・銀河系外
- ・超レア

TeV PeV

EeV

- ・高精度観測
- ・超巨大実験
- ・銀河系内外

高エネルギーガンマ線観測  
(MAGIC, CTA)

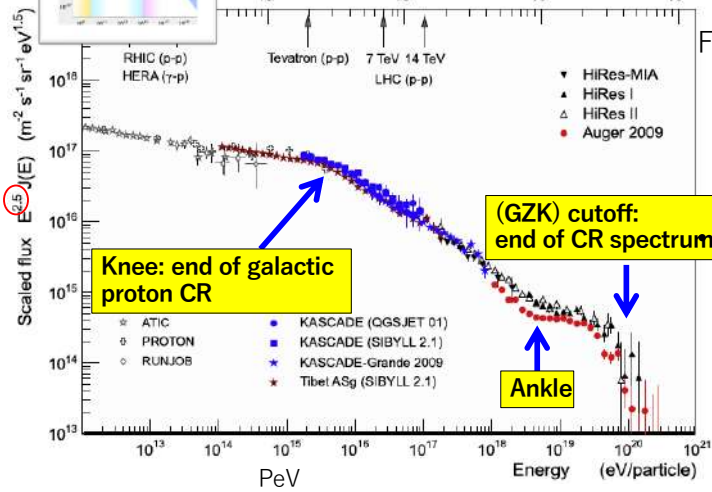
最高エネルギーガンマ線観測  
(Tibet, ALPACA)

- ・宇宙最高エネルギー光子
- ・銀河系内
- ・2019年に観測確立

ガンマ線観測

# 宇宙線のエネルギースペクトル

(D'Enterria et al., Astropart. Phys., 35, 98-113, 2011)



$$y = b + ax$$

- $J = J_0 E^\alpha \Rightarrow \log J = \log J_0 + \alpha \log E$
- $\log(E^{2.5} J) = \log J_0 + (\alpha + 2.5) \log E$

## Flux

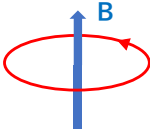
- $J \propto E^{-2.7}$  (below knee)
- $J \propto E^{-3.1}$  (above knee)
- $J \propto E^{-2.7}$  (above ankle)
- $J \propto E^{-5}$  (above cutoff)

マクスウェル分布ではなくべき  
(power law) 型

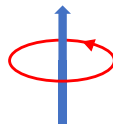
- 「熱いガス」ではない
- 熱的(thermal)ではないエネルギー付与, **粒子加速 (particle acceleration)** が起きている  
=>粒子加速天体を探せ !

# エネルギー、運動量と rigidity (剛度)

- 電磁場中での運動方程式 :  $\frac{d\vec{p}}{dt} = q\vec{v} \times \vec{B} + q\vec{E}$
- 高エネルギー (相対論的) なので  $E$  (エネルギー) =  $pc$  (運動量  $\times c$ ) 、  $v=c$  とする  
 $E_p = E_{He}$  の時



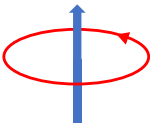
陽子 ( $q=e$ )



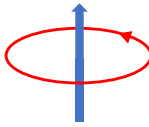
ヘリウム ( $q=2e$ )

- $\frac{d\vec{R}}{dt} = \frac{d(\vec{p}/q)}{dt} = \vec{v} \times \vec{B} + \vec{E}$  と、rigidity  $R$ を定義すると、粒子軌道は電荷に依存しない

$R_p = R_{He}$  の時



陽子 ( $q=e$ )

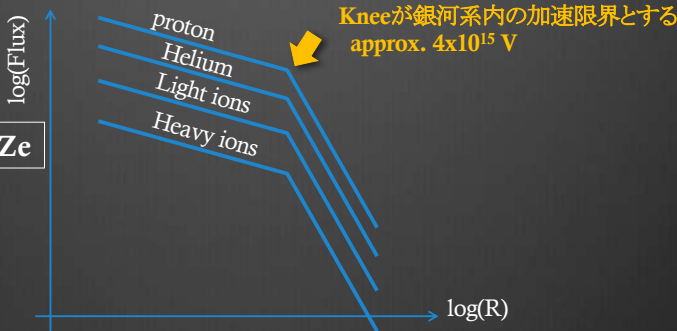


ヘリウム ( $q=e$ )

- 回転半径 > 天体のサイズで加速限界が決まる
- 加速限界 rigidity は原子核種によらない

# Standard Scenario of Cosmic-Ray Spectrum

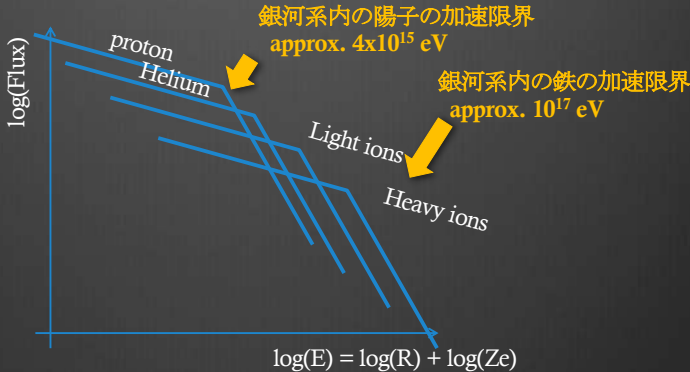
Rigidity :  $R = pc/Ze \sim E/Ze$



- ✓ 同じrigidityの粒子は電磁場中で同じ軌道で運動  
=> Rigidityスペクトルはどの原子核でも同じ
- ✓ 宇宙線加速器は有限のサイズと磁場強度もつ  
=> 加速限界rigidityはどの原子核でも同じ

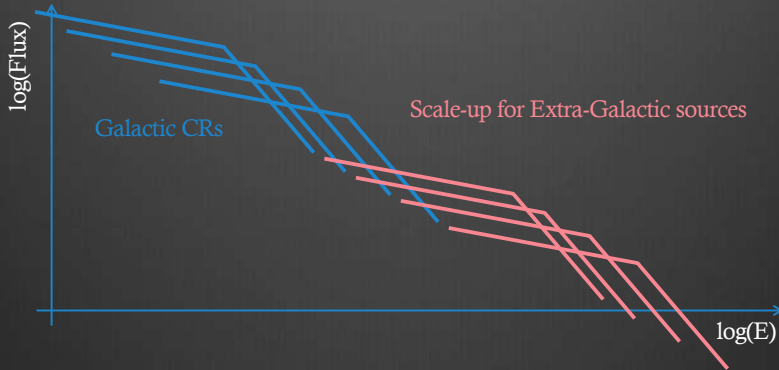
# Standard Scenario of Cosmic-Ray Spectrum

$$\boxed{\text{Energy : } E = R \times Z e}$$



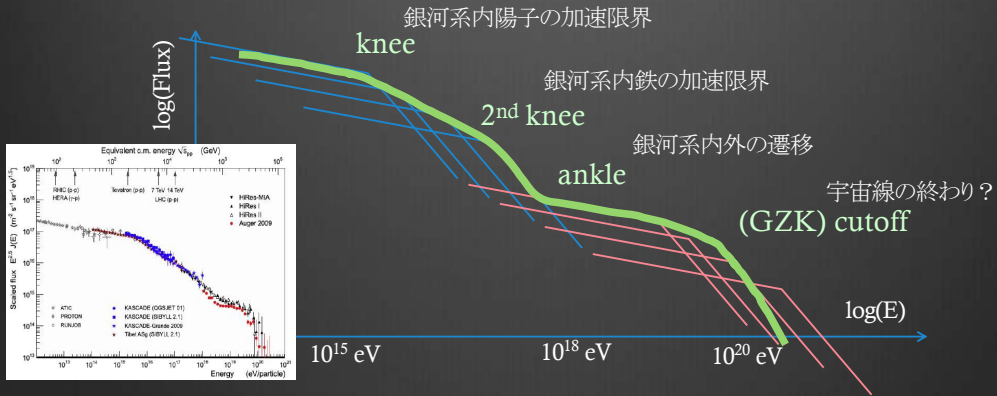
- ✓ 「エネルギー」スペクトルにすると、原子番号Z倍だけ右にシフト
- ✓ 鉄( $Z=26$ )の加速限界エネルギーは  $26 \times 4 \times 10^{15} \sim 10^{17}$  eV

# Standard Scenario of Cosmic-Ray Spectrum



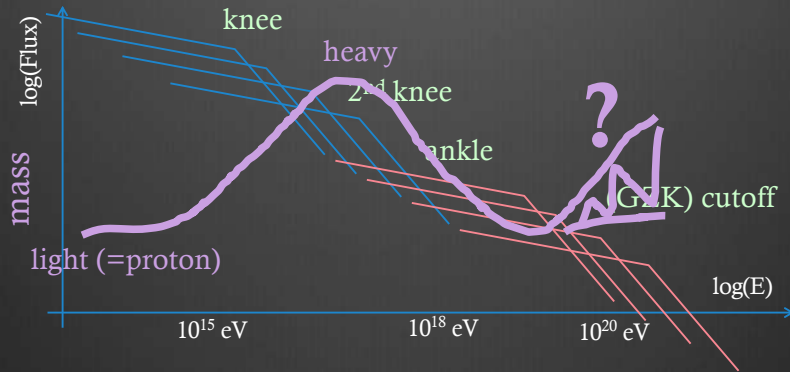
- ✓ 銀河系内の限界とこえると、銀河系外からの宇宙線が支配的になる
- ✓ 銀河系外には多分、我々の銀河より強力な加速天体があるだろう

# Standard Scenario of Cosmic-Ray Spectrum



- ✓ エネルギースペクトルの構造を説明可能
- ✓ 粒子種(原子核種、質量)のエネルギー依存があるはず

# Standard Scenario of Cosmic-Ray Spectrum



- ✓ エネルギースペクトルの構造を説明可能
- ✓ 粒子種(原子核種、質量)のエネルギー依存があるはず

# 高エネルギー宇宙線の課題

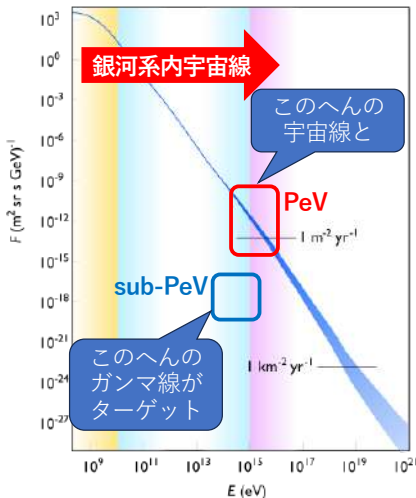
- 宇宙線標準モデルの実証
- 「どこで」「どのように」発生？  

- 加速限界はrigidityは？Knee ( $4 \times 10^{15} \text{ eV} = 4 \text{ PeV}$ )は陽子の加速限界？  
✓ 宇宙線原子核種別エネルギースペクトル測定
- 磁場で曲がる宇宙線で「宇宙磁場」の研究ができる？  
✓ 太陽磁場変動の研究  

- sub-PeV ガンマ線観測で数PeV 陽子の存在を証明
  - ✓ 加速天体周辺でのガンマ線生成
  - ✓ 銀河系空間でのガンマ線生成
  - ✓ 南半球での観測

TeV= $10^{12} \text{ eV}$ , PeV= $10^{15} \text{ eV}$ , EeV= $10^{18} \text{ eV}$

# 高エネルギー宇宙線・ガンマ線観測の方法 ～空気シャワー～



- >数PeVの宇宙線は“1個/ $1\text{m}^2/\text{年}$ ”
- >100TeVのガンマ線は明るい天体で”~1個/ $1\text{m}^2/1000\text{年}$ ”
- PeVのエネルギーを吸収するには巨大な検出器が必要



宇宙での観測は無理！



地球大気を検出器として利用する  
「空気シャワー」実験

宇宙線

エネルギーが高いと、  
空気の分子と衝突して  
大量の粒子を生成

ほとんどが地球の大気に吸収される

一部が地上に到達する  
(ミュー粒子)

地上に大量の粒子が降り注ぐ  
= 空気シャワー現象



宇宙線

エネルギーが高いと、  
空気の分子と衝突して  
大量の粒子を生成

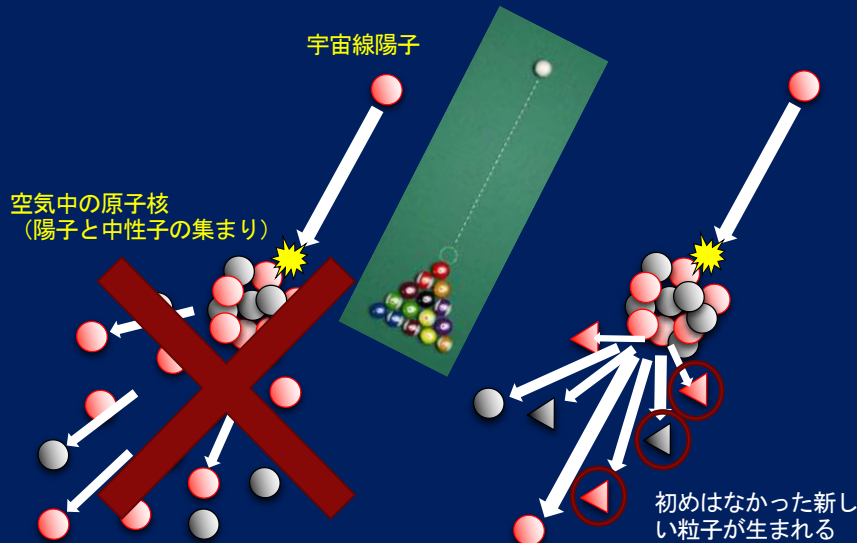
ほとんどが地球の大気に吸収される

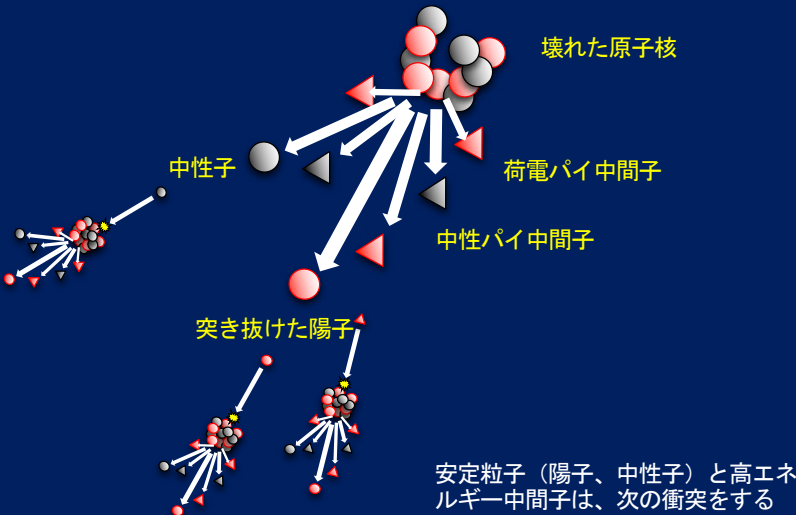
一部が地上に到達する  
(ミュー粒子)

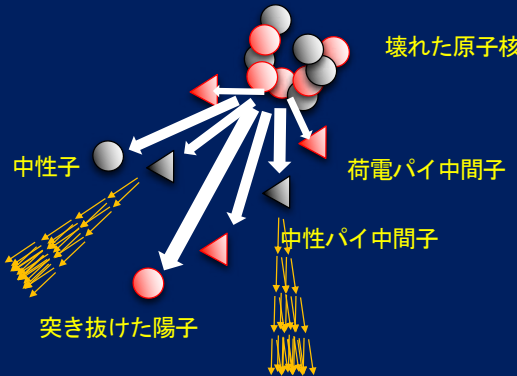
地上に大量の粒子が降り注ぐ  
= 空気シャワー現象

空気シャワーアレイ、で観測  
数万m<sup>2</sup>の有効面積

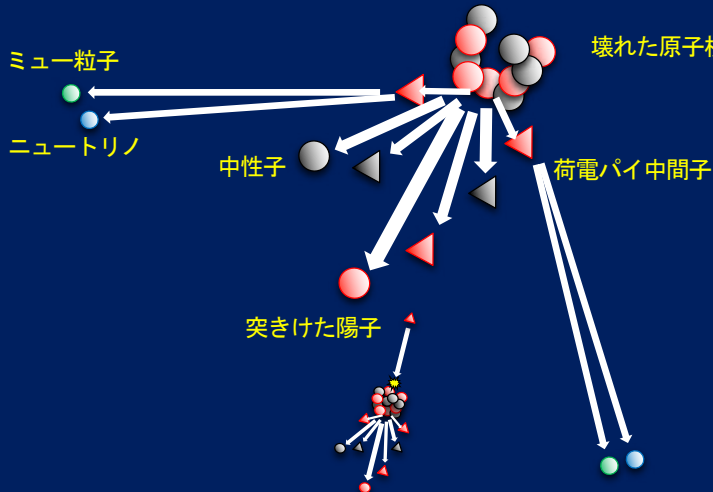




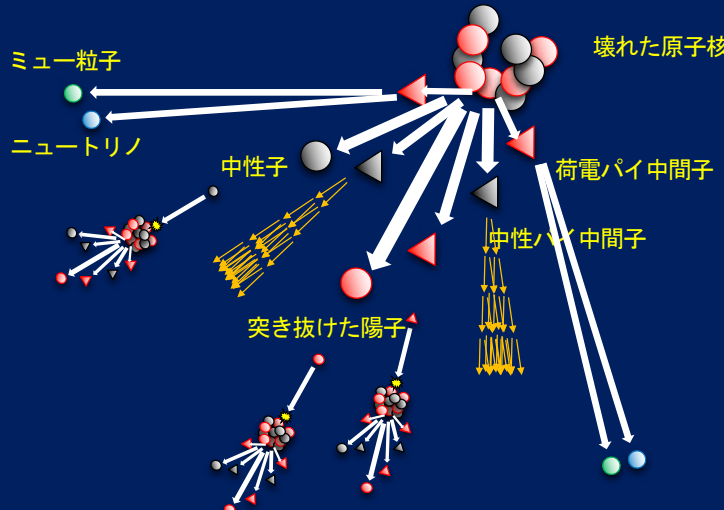




中性パイ中間子は、ガンマ線に崩壊。  
ガンマ線  $\Rightarrow$  電子・陽電子（電子対生成）  
電子・陽電子  $\Rightarrow$  ガンマ線（制動放射）  
の粒子増殖を繰り返す電磁カスケードシャワーを形成。

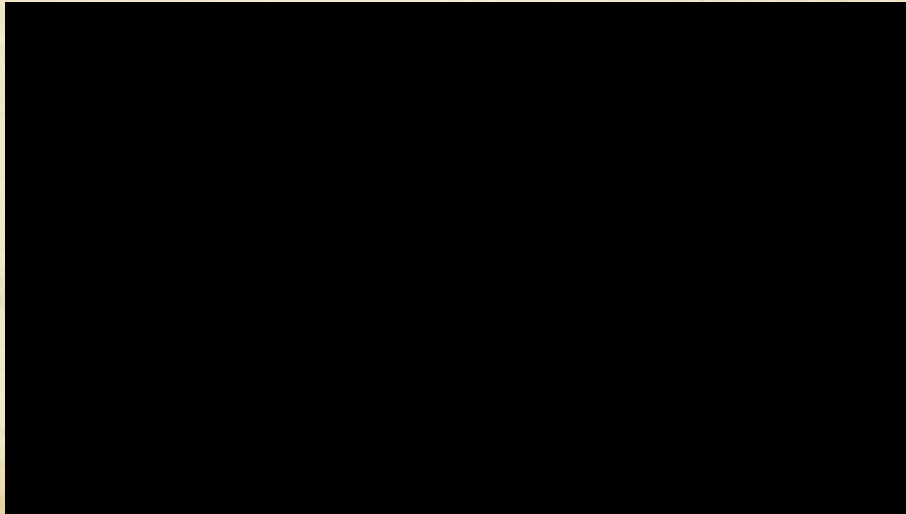


荷電パイ中間子は、  
エネルギーが高いと、次の衝突を起こす  
エネルギーが低いと、ミュー粒子とニュートリノに崩壊  
ミュー粒子とニュートリノはほとんど反応しないで地上（地中）に到達



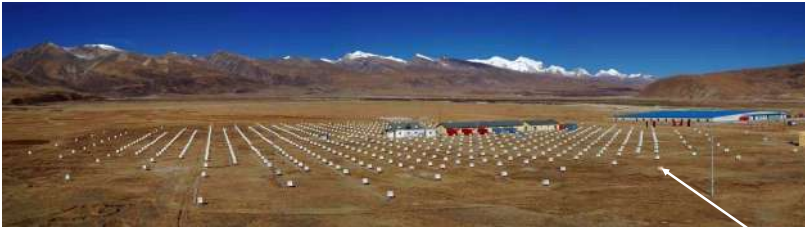
- 地球大気の中では常に、高エネルギー素粒子反応が起きている
- 生成粒子の種類、エネルギーによって、次の反応が全く違う
- 地上には様々な素粒子が降り注いでいる（空気シャワー）  
=> 最終的にはミューア粒子、電子・陽電子、ガンマ線が主成分

# チベット空気シャワー実験の動画



[https://drive.google.com/file/d/1pgP6ghl61avBKljGoBN-LAhxvv2ax\\_j/view?usp=sharing](https://drive.google.com/file/d/1pgP6ghl61avBKljGoBN-LAhxvv2ax_j/view?usp=sharing) も参照

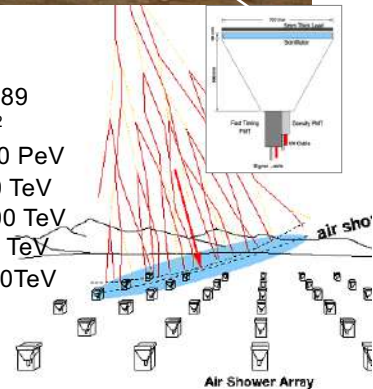
# Tibet-III Air Shower (AS) Array



4,300 m a.s.l. (606 g/cm<sup>2</sup>)

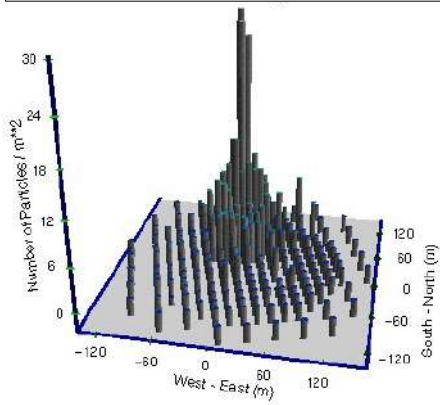
- ❑ Number of Scinti. Det.
- ❑ Effective Area for AS
- ❑ Energy region
- ❑ Angular Resolution  
(Gamma rays)
- ❑ Energy Resolution  
(Gamma rays)
- ❑ F.O.V.
- ❑ Trigger Rate

0.5 m<sup>2</sup> x 789  
~37,000 m<sup>2</sup>  
~3TeV - 100 PeV  
~0.4° @ 10 TeV  
~0.2° @ 100 TeV  
~50% @ 10 TeV  
~20% @ 100TeV  
~2 sr  
1.7 KHz

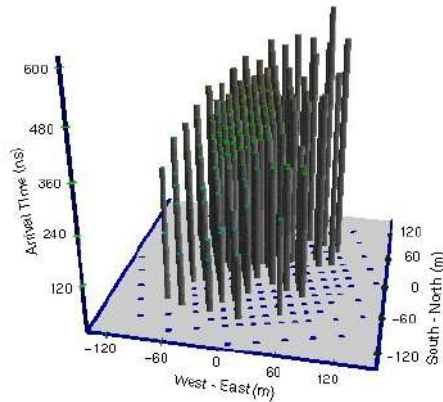


# 空気シャワーの観測例

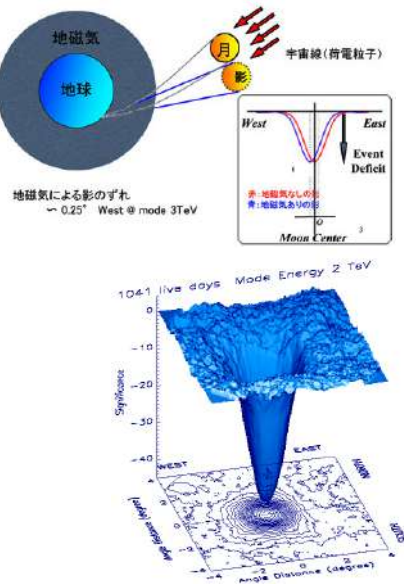
粒子数密度分布  
=> 入射粒子のエネルギー



粒子到来タイミング分布  
=> 入射粒子の到来方向

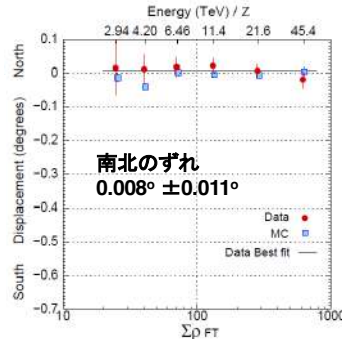


# 「月の影」による装置性能の実証

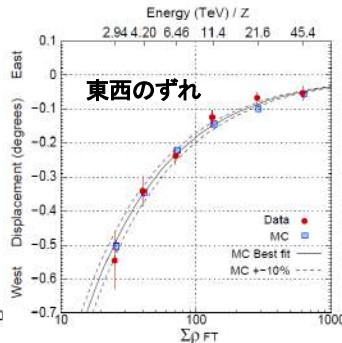


- エネルギーの絶対値
- 角度・方向分解能

The Astrophysical Journal, 692, 61-72(2009)

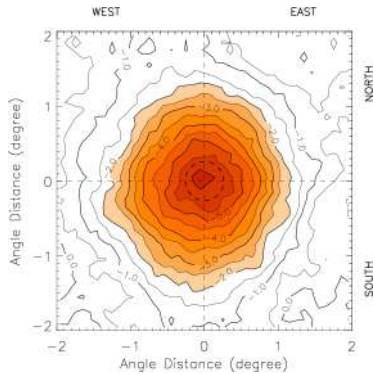


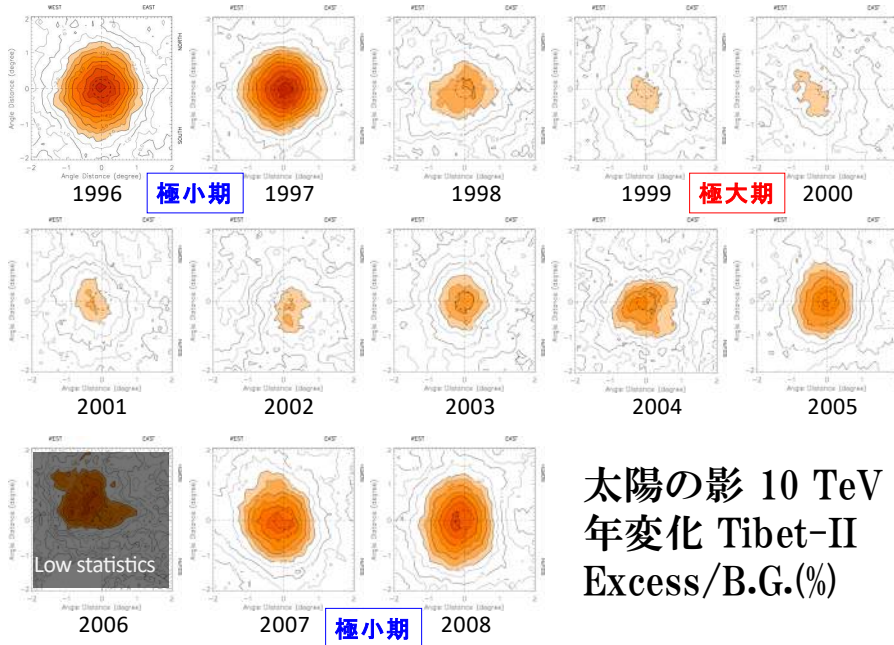
Pointing Error  
< 0.011°



Absolute Energy Scale Error < 12%  
+4.5% ( $\pm 8.6\text{stat.} \pm 6.7\text{syst.}$ )<sup>25</sup>

だったら太陽の影も





太陽の影 10 TeV  
年変化 Tibet-II  
Excess/B.G.(%)

# 仮定する太陽圏の磁場

コロナ磁場 → 2つのSource Surface モデル (PFSS / CSSS)

Kitt Peak の太陽表面磁場の観測から推測する  
太陽の 1 自転周期(~27日)ごとの平均モデル

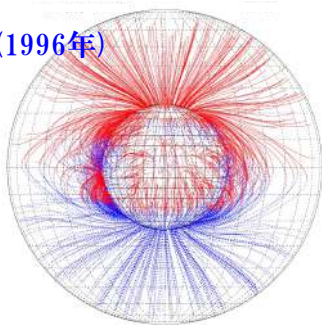
惑星間磁場 → パーカー・スパイラルモデル

太陽風速度は名大IPS観測の緯度依存を考慮

地磁気 → 双極子磁場モデル

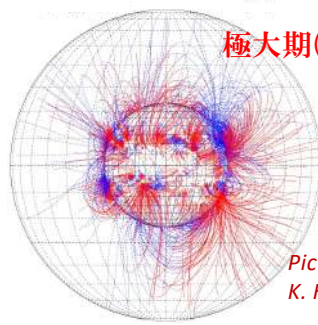
極小期(1996年)

PFSS



極大期(2000年)

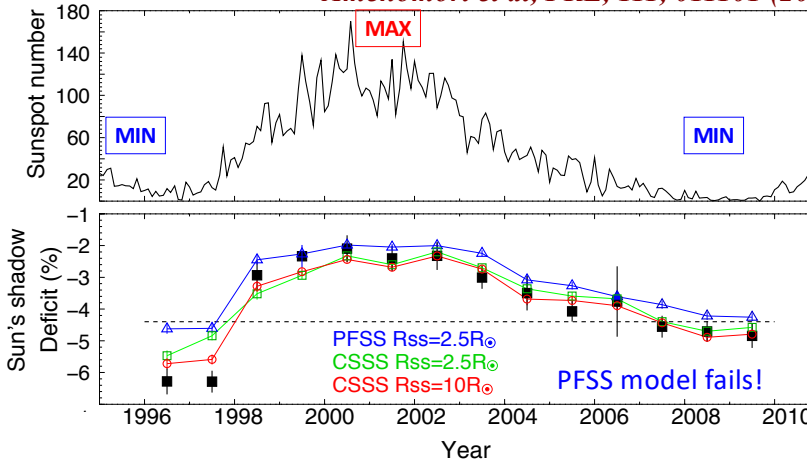
PFSS



*Pictures from  
K. Hakamada*

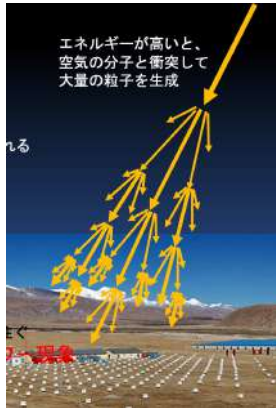
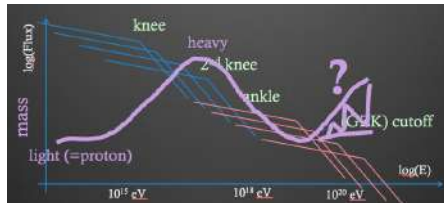
# Past Results (Tibet-II >10TeV)

*Amenomori et al, PRL, 111, 011101 (2013)*



- ✓ 太陽活動と太陽の影の深さの相関
- ✓ 太陽近傍磁場構造の間接測定

# 原子核種の決定（標準モデルの検証）



## 標準モデル

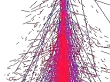
- Kneeまでは軽くて（陽子中心）
- Knee以上はだんだん重くなる
- 2nd kneeで一番重い

はず

観測するのは粒子増殖の成れの果て  
どうやって入射粒子の種類を判別？

陽子シャワー

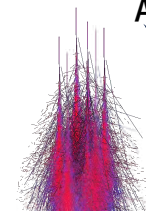
$E_0$



原子核シャワー

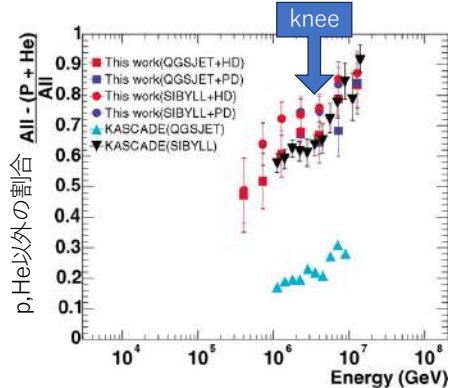
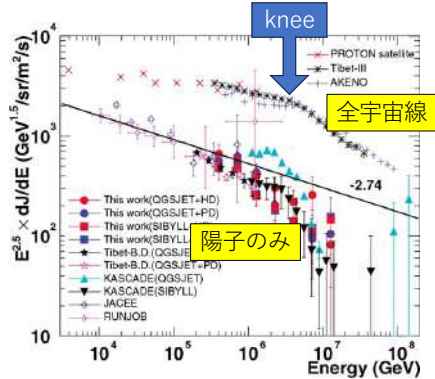
$Ax(E_0/A)$

質量数



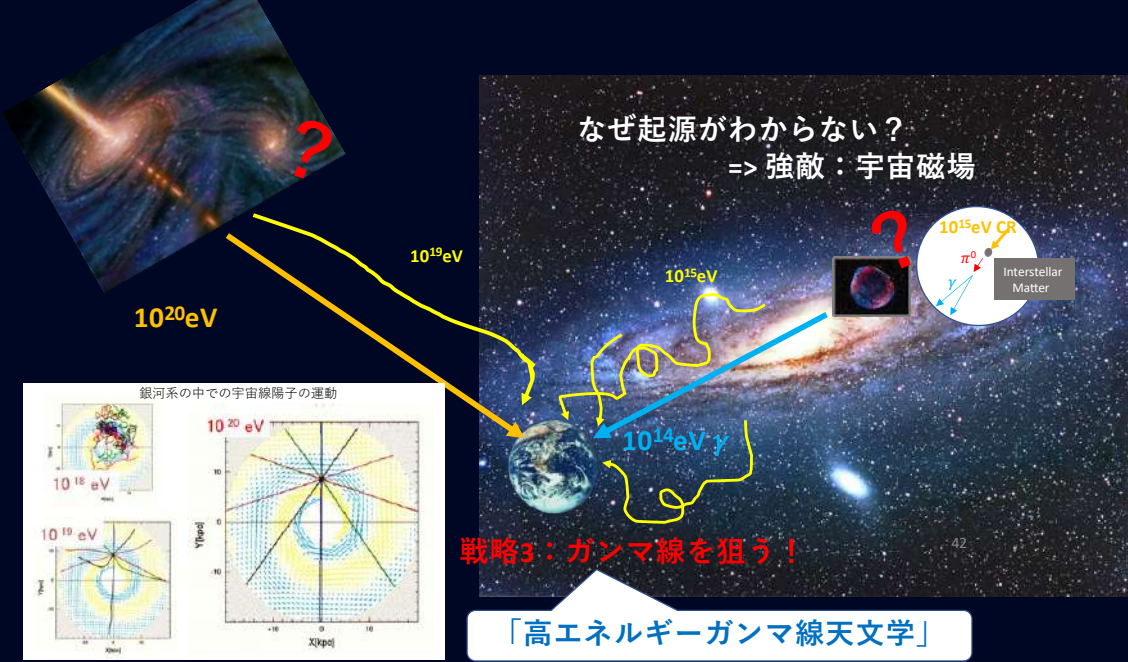
原子核のシャワーは低エネルギー陽子シャワーの重ね合わせ  
陽子（軽い原子核）のシャワーは発達中  
重い原子核のシャワーは発達末期 40

# チベット実験による陽子のスペクトル



- kneeで陽子はすでに主成分ではない
- 陽子の加速限界はkneeのあたり？
- knee前後で宇宙線の平均質量が次第に重くなっていく
- 他実験と一致・不一致あり（絶対値、カットオフ）
- 他実験は解析に使う相互作用モデル依存が強い
- 標準モデルほど単純ではない？

=> LHCによる相互作用モデルの改良・新世代実験によるミューオンの高精度測定



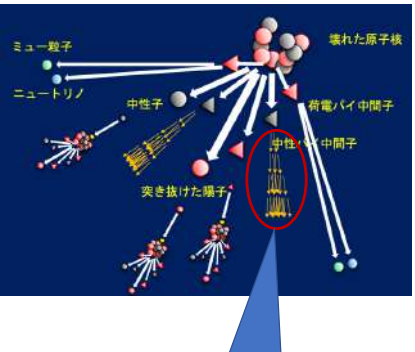
# ガンマ線シャワーの選別

ガンマ線→少ない ミュー粒子

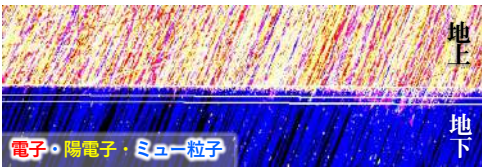
高い透過力→地下に侵入

200TeV宇宙線(雑音)起源の場合

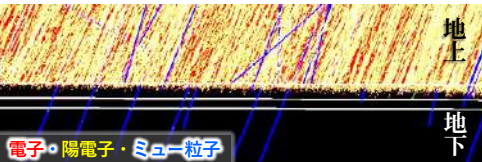
空気シャワー



ガンマ線シャワー  
はこれだけ



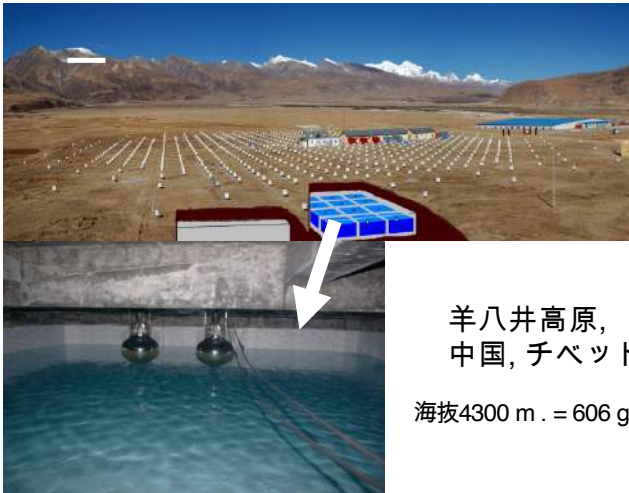
200TeVガンマ線 起源の場合



地面付近を拡大

地下 ミュー粒子の有無で選別可能！！

# チベット空気シャワーアレイと 地下ミューオン検出器



羊八井高原,  
中国, チベット

海拔4300 m . = 606 g/cm<sup>2</sup>



Google Map

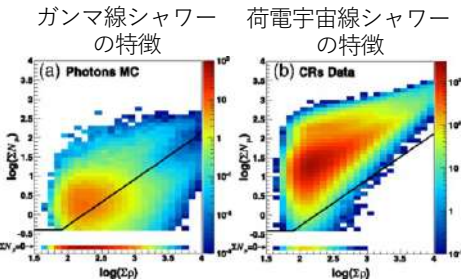
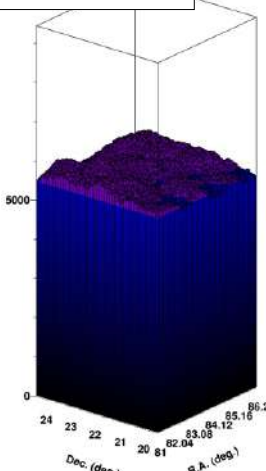


MD construction scene



# チベットAS $\gamma$ 実験による 最高エネルギーガンマ線の発見

BG除去前

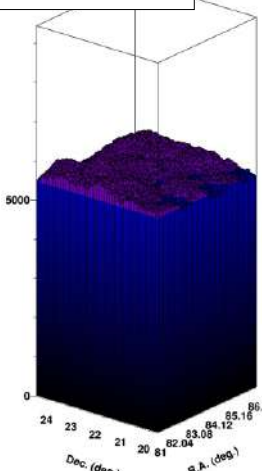


かに星雲からの100TeV超  
ガムマ線の検出に成功

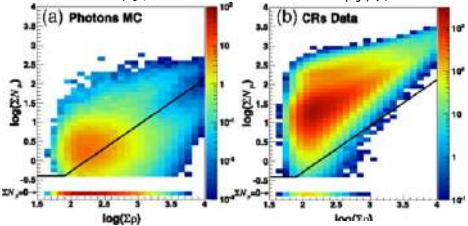


# チベットAS $\gamma$ 実験による 最高エネルギーガンマ線の発見

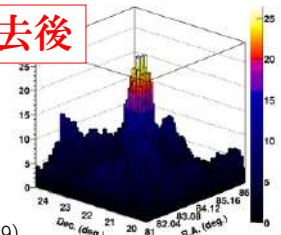
BG除去前



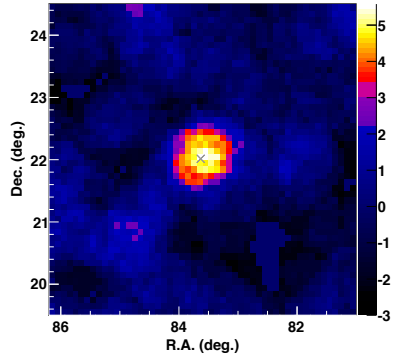
ガンマ線シャワー  
の特徴      荷電宇宙線シャワー  
の特徴



BG除去後



(b)  $E > 100$  TeV



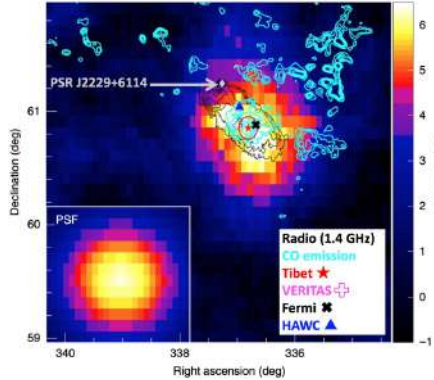
かに星雲からの100TeV超  
ガムマ線の検出に成功



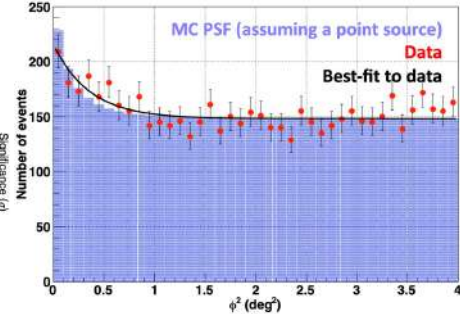
# SNR G106.3+2.7 (Tibet AS $\gamma$ 実験による観測)

M. Amenomori et al., Nature Astronomy Letters (2021) <https://doi.org/10.1038/s41550-020-01294-9>

赤道座標上の事例分布 > 10 TeV



源からの角度分布 > 10 TeV



➤ Fit given assuming Gaussian

$$A \exp\left(-\frac{\phi^2}{2(\sigma_{\text{PSF}}^2 + \sigma_{\text{EXT}}^2)}\right)$$

$\sigma_{\text{PSF}} = 0.35^\circ$  from MC simulation

$$\Rightarrow \sigma_{\text{EXT}} = 0.24^\circ \pm 0.10^\circ$$

※ 過去の他の実験結果と無矛盾

VERITAS:  $\sigma_1 = 0.27^\circ \pm 0.05^\circ$ ,  $\sigma_2 = 0.18^\circ \pm 0.03^\circ$   
Fermi:  $0.25^\circ$ -radius disk  
HAWC:  $< 0.23^\circ$  (90% C.L.)<sup>48</sup>

- Tibet source position: R.A. =  $336.82^\circ \pm 0.16^\circ$   
Dec =  $60.85^\circ \pm 0.10^\circ$

- 分子雲と超新星残骸の重なる領域からのガンマ線
- パルサーの位置から来ていない → **ハドロン起源を示唆！**



# sub-PeV銀河面拡散ガンマ線

銀河系PeV宇宙線プール

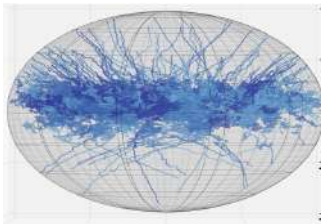
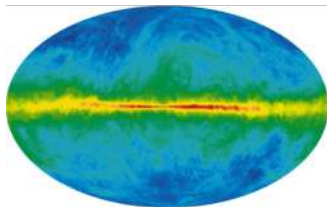


Figure from slide presented by A. Kääpä (Bergische Universität Wuppertal) at CRA2019 workshop

銀河系星間物質（陽子）



Radio (21cm) HI Map  
Hartmann et al. (1997)  
Dickey & Lockman (1990)

sub-PeVガンマ線  
(0.4 – 1 PeV)





# sub-PeV銀河面拡散ガンマ線

銀河系PeV宇宙線プール

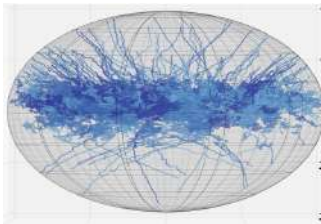
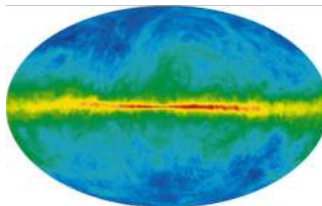


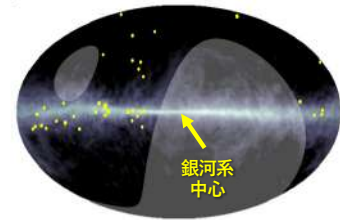
Figure from slide presented by A. Kääpä (Bergische Universität Wuppertal) at CRA2019 workshop

銀河系星間物質（陽子）



Radio (21cm) HI Map  
Hartmann et al. (1997)  
Dickey & Lockman (1990)

sub-PeVガンマ線  
(0.4 – 1 PeV)



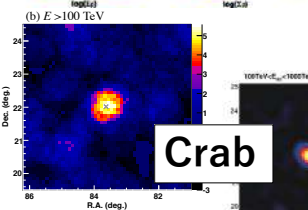
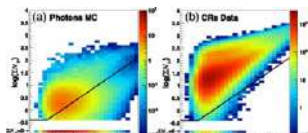
銀河系  
中心

Tibet ASγ 実験

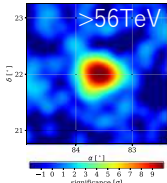
Amenomori+, PRL 126, 141101 (2021)

- ✓ 銀河面からのPeV宇宙線起源のsub-PeV拡散ガンマ線を世界初観測
- ✓ 銀河系内にPeV宇宙線加速天体が存在することを実験的に証明
- ✓ 最高ガンマ線エネルギー ~ 1 PeV

# sub-PeVガンマ線天文学の夜明け

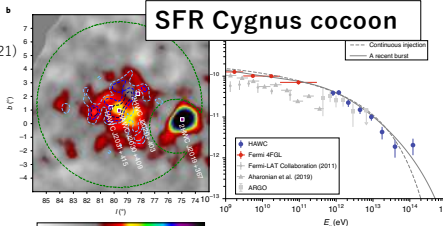
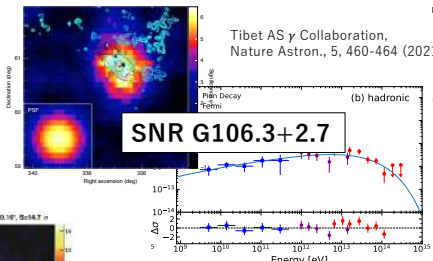


Tibet AS  $\gamma$  Collaboration,  
PRL 123, 051101 (2019)



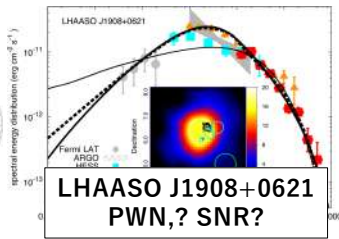
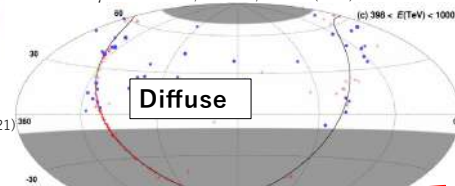
LHAASO Collaboration,  
Chin. Phys. C45, 023002 (2021)

HAWC Collaboration,  
ApJ 881:134 (2019)



HAWC Collaboration, Nature Astron., 5, 465-471 (2021)

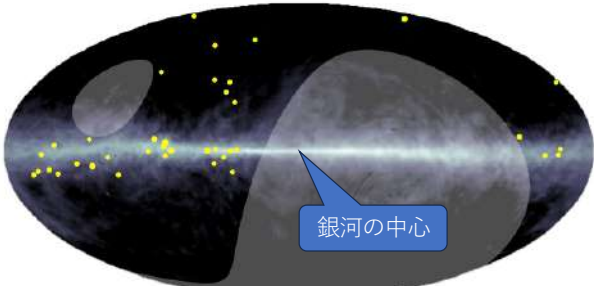
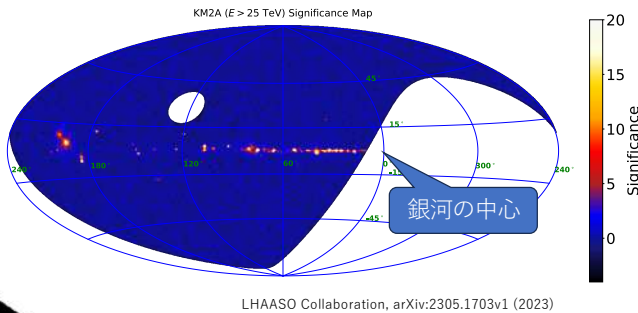
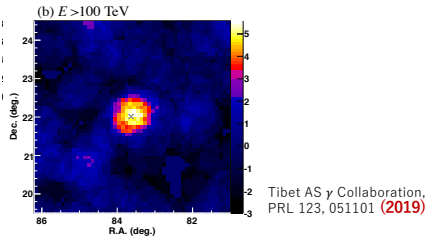
Tibet AS  $\gamma$  Collaboration, PRL 126, 141101 (2021)



LHAASO Collaboration,  
Nature, 594, 33-36 (2021)

**Sub-PeVの空は賑やかだ**

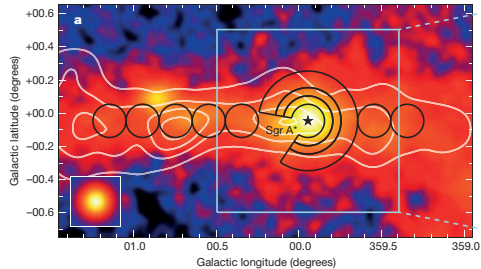
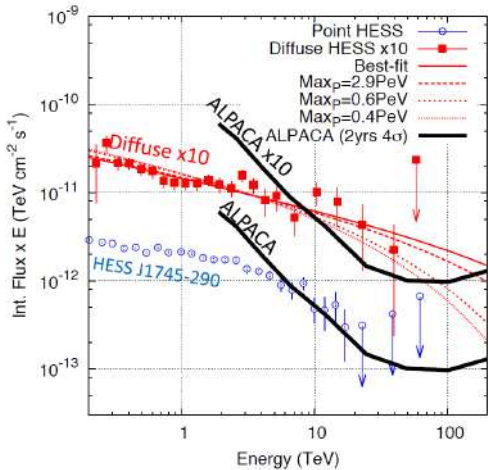
# Sub-PeVガンマ線天文学、次のステップ



Tibet AS  $\gamma$  Collaboration, PRL 126, 141101 (2021)

Sub-PeVの空は賑やかだ  
次は南半球、銀河の本命！！

# 銀河中心ブラックホールはPeV加速天体?



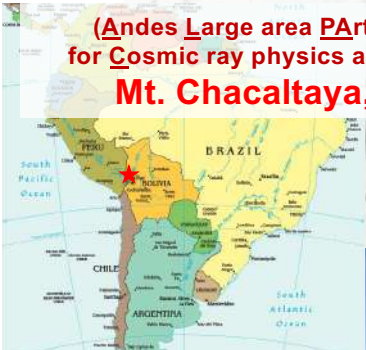
Abramowski, et al, Nature (2016)

- ✓ ナミビアのTeV望遠鏡 H.E.S.Sの観測
- ✓ 40TeVまでカットオフなし
- ✓ 銀河中心の周りに広がった放射
- ✓ 100TeVまで伸びていればALPACAで検出可能
- ✓ PeV加速天体の有力候補

# ALPACA

(Andes Large area Particle detector  
for Cosmic ray physics and Astronomy)

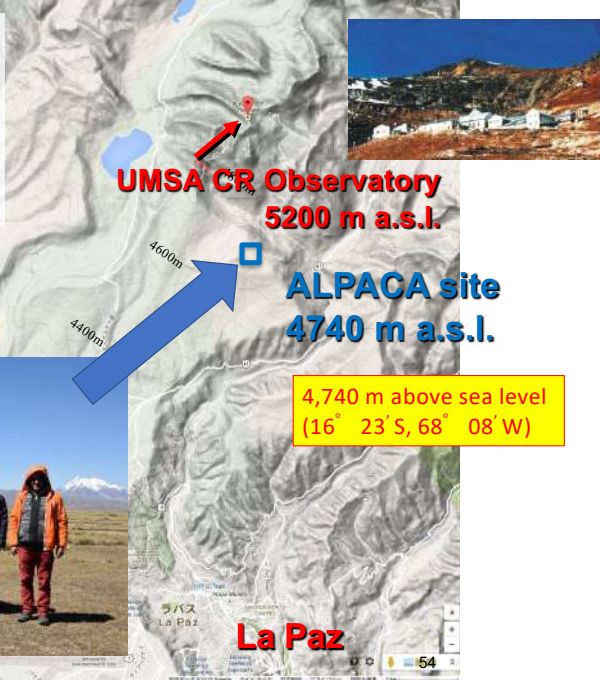
Mt. Chacaltaya, Bolivia



UMSA CR Observatory  
5200 m a.s.l.

ALPACA site  
4740 m a.s.l.

4,740 m above sea level  
( $16^{\circ} 23' S$ ,  $68^{\circ} 08' W$ )

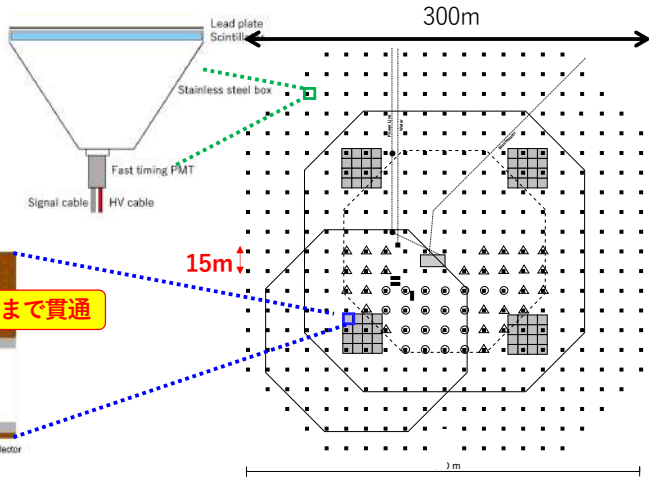


La Paz

# ALPACA空気シャワー実験

## 1. Array coverage 82,800m<sup>2</sup>

401 x 1m<sup>2</sup> プラスチックシンチレータ  
方向とエネルギーの測定



Muonの多い  
ハドロンシャワー  
をMDで判定

- ✓ 荷電宇宙線シャワーの除去効率 >99.9% @100TeV.
- ✓ 角度分解能 ~0.2° @100TeV, エネルギー分解能 ~20%@100TeV
- ✓ 100% duty cycle, FOV  $\theta_{zen} < 40^\circ$  (well studied),  $\theta_{zen} < 60^\circ$  (in study)

■ 1 m<sup>2</sup> AS Detector x (97+304) (82,800 m<sup>2</sup>)  
■ 58 m<sup>2</sup> Muon Detector x (16+48) (3,700 m<sup>2</sup>)

97 detectors

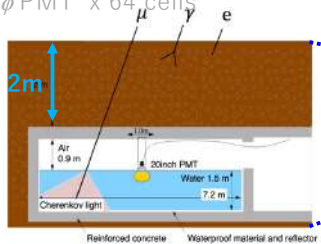
# ALPAQUITA空気シャワー実験

## 1. Array coverage 82,800m<sup>2</sup>

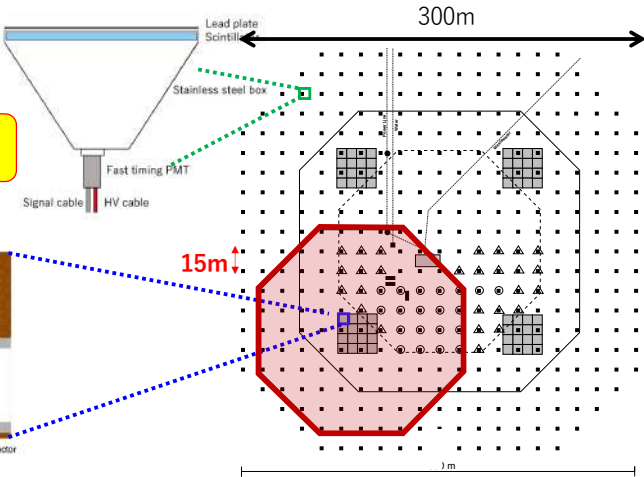
401 x 1m<sup>2</sup> プラスチックシンチレータ  
方向とエネルギーの測定

## 2. Underground water Cherenkov detector (MD) 3600m<sup>2</sup>

地下 2m ( $\sim 16X_0$ )に設置  
58m<sup>2</sup> with 20"φ PMT × 64 cells



16 cells  
(1 MD unit)



- ✓ 荷電宇宙線シャワーの除去効率 >99.9% @100TeV.
- ✓ 角度分解能 ~0.2° @100TeV, エネルギー分解能 ~20% @100TeV
- ✓ 100% duty cycle, FOV  $\theta_{zen} < 40^\circ$  (well studied),  $\theta_{zen} < 60^\circ$  (in study)

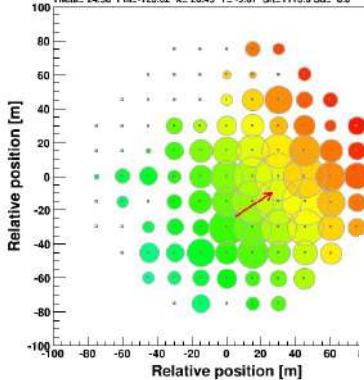
■ 1 m<sup>2</sup> AS Detector x (97+304) (82,800 m<sup>2</sup>)  
■ 58 m<sup>2</sup> Muon Detector x (16+48) (3,700 m<sup>2</sup>)

# ALPAQUITA construction in June 2022



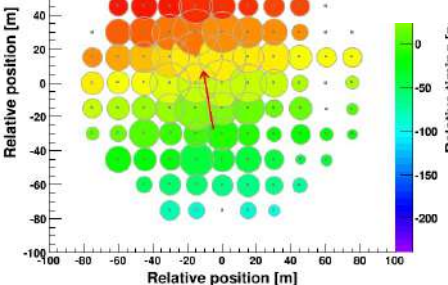
- 2022年6月から建設再開（コロナ中断）
- 97台の地上検出器設置完了
- 2022年9月にデータ収集開始

run#=23062501 ev#=110788 mjd=60120.0175874307 #ch= 74  
Theta= 24.58 Phi= -123.62 X= 26.45 Y= -9.87 Slt=1116.6 Sd= 0.0

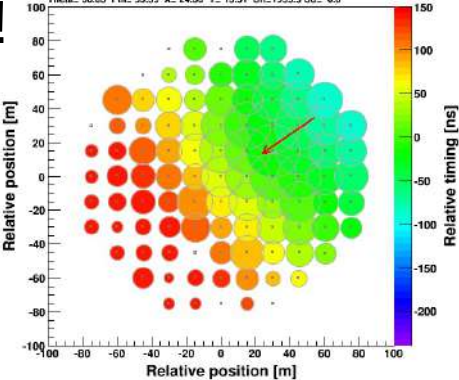


# Big Events!

run#=23062501 ev#=42586 mjd=60120.0146997180 #ch= 88  
Theta= 33.77 Phi=170.60 X=-10.61 Y= 5.43 Slt=1478.0 Sd= 0.0



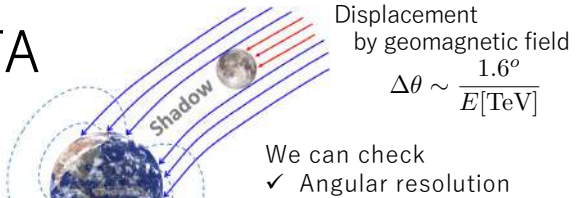
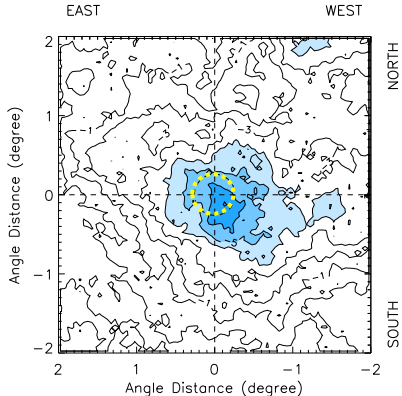
run#=23062501 ev#=111107 mjd=60120.0176029972 #ch= 90  
Theta= 36.03 Phi= 55.39 X= 24.30 Y= 13.51 Slt=1959.9 Sd= 0.0



$E > 100 \text{ TeV}$   
(mostly hadronic CRs)

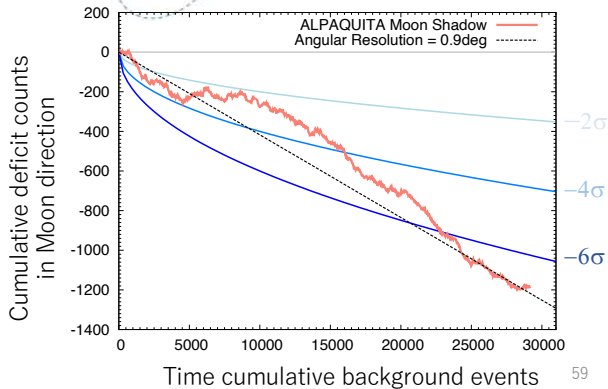
# 月の影 by ALPAQUITA

- April 7, 2023 – July 16, 2023 (83 days)
- With cable length correction
  - Successfully detected at  $6.7\sigma$
  - Westward shift  $\sim 0.2^\circ$  as expected
  - Moon shadow verified  $\sim 0.9^\circ$  resolution

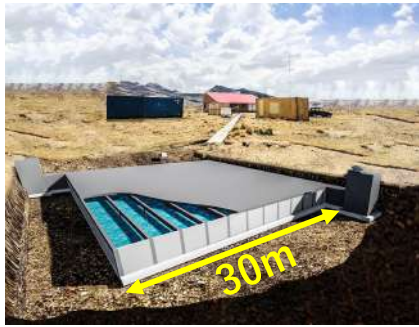
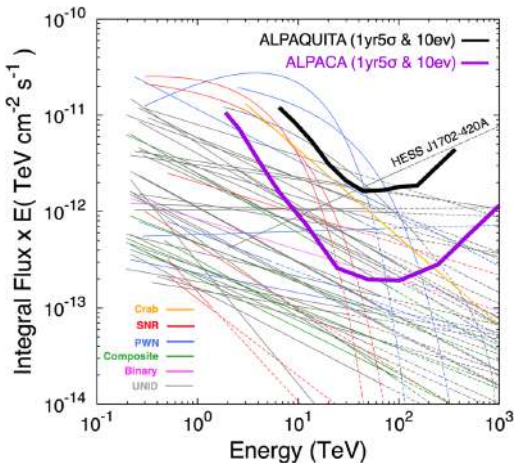


We can check

- ✓ Angular resolution
- ✓ Pointing accuracy
- ✓ Absolute energy scale



# ALPAQUITAの感度



Site photo + CG image of MD by design company

- 2024年に地下ミューオン検出器（1台目）を完成
- 2025年にALPACA全体を完成
- ALPAQUITA 1年の観測で、数個の既知のTeV天体から $>100\text{TeV}$  (sub-PeV) ガンマ線を検出可能
- ALPACA 1年の観測で、既知のTeV天体半分を $>100\text{TeV}$ で検証可能

S.Kato et al., Experimental Astronomy (2021) 52:85-107

これから数年が一番面白い「発見の時代」！！

# 宇宙線研究者の生活



# まとめ

- 「銀河宇宙線の起源」は古くて新しい重要なテーマ
- 宇宙線の精密測定 + LHCからの知見、によって**宇宙線の加速限界（陽子スペクトル）**の解析が進展
- **sub-PeV**ガンマ線観測技術が確立
  - 北半球では複数の実験が多くの天体を発見
  - 拡散ガンマ線は、銀河系内の宇宙線の分布を測定
  - **南半球の新しい実験ALPACA**が最先端 => **銀河宇宙線の起源解明**
- 「宇宙線の起源」以外のテーマも
  - 太陽磁場の検証、宇宙天気予報
  - ダークマター等、新物理の探索
  - 空気シャワーによる高エネルギーハドロン反応の研究